## NLR Cheat Cheetos (yumyum)

## 1 LTV Systeme

$$\dot{\boldsymbol{x}} = A(t)\boldsymbol{x} + B(t)\boldsymbol{u}$$
$$\boldsymbol{y} = C(t)\boldsymbol{x} + D(t)\boldsymbol{u}$$

## Transitionsmatrix und Lösung der Zustandsdifferenzialgleichung

Lösung für  $\dot{\boldsymbol{x}} = A(t)\boldsymbol{x}$  in der Form  $\boldsymbol{x}(t) = \Phi(t, t_0)\boldsymbol{x}_0$  mit Transitionsmatrix  $\Phi(t, t_0)$  aus der Peano-Baker-Reihe. EIGENSCHAFTEN DER TRANSITIONSMATRIX: Anfangswert:  $\Phi(t_0, t_0) = E$ , Produkteigenschaft:  $\Phi(t_2, t_0) = \Phi(t_2, t_1)\Phi(t_1, t_0)$ , Invertierbarkeit:  $\Phi^{-1}(t,t_0) = \Phi(t_0,t)$ , Differenzierbarkeit:  $\frac{d}{dt}\Phi(t,t_0)=A(t)\Phi(t,t_0)$ , Determinante:  $\det \Phi(t, t_0) = \exp \left( \int_{t_0}^t \operatorname{tr} A(\tau) d\tau \right).$ Eigenwerte von A(t) geben keine Aussage über Stabilität.

## 1.1.1 Spezialfälle geschlossener Lösungen

$$\dot{x} = a(t)x$$
 mit Lösung  $x = \exp\left(\int_{t_0}^t a(\tau) d\tau\right) x_0$ . Bei dim  $x > 1$  und  $A(t)A(\tau) = A(\tau)A(t)$  dann gilt  $\Phi(t,\tau) = \exp\left(\int_{\tau}^t A(s) ds\right)$ 

#### 1.1.2 Periodische Matrizen

Für  $\dot{\boldsymbol{x}} = A(t)\boldsymbol{x}$  mit  $A(t) = A(t + \omega)$  dann gilt  $\Phi(t,\tau) = P(t,\tau)e^{R(t-\tau)}$  mit  $P(t,\tau) = P(t+\omega,\tau)$  und R = const.

## Lösung der nicht-autonomen Zustandsdifferenzialgleichung

Lösung von

$$\dot{\boldsymbol{x}} = A(t)\boldsymbol{x} + B(t)\boldsymbol{u}$$
$$\boldsymbol{y} = C(t)\boldsymbol{x} + D(t)\boldsymbol{u}$$

lautet

$$\mathbf{x} = \Phi(t, t_0)\mathbf{x}_0 + \int_{t_0}^t \Phi(t, \tau)B(\tau)\mathbf{u}(\tau)d\tau$$
$$\mathbf{y} = C(t)\Phi(t, t_0)\mathbf{x}_0 + \int_{t_0}^t C(t)\Phi(t, \tau)B(\tau)\mathbf{u}(\tau)d\tau + D(t)\mathbf{u}$$

## 1.2 Zustandstransformationen und äquivalente Systemdarstellungen

Zustandstransformation z = V(t)x mit Transformationsmatrix V(t) regulär im betrachteten Zeitintervall und  $\dot{V}(t)$  existiert und ist stetig im Intervall.

$$\dot{\boldsymbol{z}} = [\dot{V}(t) + V(t)A(t)]V^{-1}(t)\boldsymbol{z} + V(t)B(t)\boldsymbol{u}$$
$$\boldsymbol{y} = C(t)V^{-1}(t)\boldsymbol{z}(t) + D(t)\boldsymbol{u}$$

z = V(t)x ist eine Lyapunov-Transformation, falls V(t) und  $V^{-1}(t) \; \forall t \; \text{beschränkt sind.} \; \text{Dann folgt aus der exponentiellen}$ Stabilität des einen Systems, die exponentielle Stabilität des jeweils anderen Systems.

### 1.3 Stabilität

 $\dot{\boldsymbol{x}} = A(t)\boldsymbol{x}$  ist stabil wenn  $\|\Phi(t,t_0)\| \leq M$  mit  $M = \text{const.} \geq 0$ . Das System ist asymptotisch stabil falls  $\lim_{t\to\infty} \Phi(t,t_0) \boldsymbol{x}_0 \to 0 \ \forall x_0$ . Exponentiall stabil falls  $\|\Phi(t,t_0)\| \le Me^{-\omega(t-t_0)}$ 

### 1.4 Steuerbarkeit und Beobachtbarkeit

Steuerbar falls rangS(A(t), B(t)) = n, mit

$$S(A(t), B(t)) = \begin{bmatrix} N_A^0 B(t) & N_A^1 B(t) & \cdots & N_A^{n-1} B(t) \end{bmatrix}$$

wobei  $N_A^k B(t) = N_A(N_A^{k-1} B(t))$ 

 $N_A^1B(t)=-\dot{B}(t)+A(t)B(t),\quad N_A^0B(t)=B(t),$  also A(t) und B(t) müssen entsprechend (n-2) bzw. (n-1)-fach stetig

Beobachtbar falls rangO(C(t), A(t)) = n mit

$$O(C(t), A(t)) = \begin{bmatrix} M_A^0 C(t) & M_A^1 C(t) & \cdots & M_A^{n-1} C(t) \end{bmatrix}^T$$

wobei  $M_A^k C(t) = M_A(M_A^{k-1}C(t))$  und  $M_A^1 C(t) = \dot{C}(t) + C(t)A(t).$ 

## 1.5 Entwurf von Zustandsreglern

### 1.5.1 Eingrößensysteme

In SISO-RNF bringen über V(t) mit Ansatz  $z_1 = \boldsymbol{w}^T(t)\boldsymbol{x}$  und sukzessive Differentiation nach t. Eingangsgröße u trifft erst in  $z_n(t)$  auf.

$$egin{aligned} oldsymbol{z} &= egin{bmatrix} M_A^0 oldsymbol{w}^T(t) \ dots \ M_A^{n-1} oldsymbol{w}^T(t) \end{bmatrix} oldsymbol{x} &= V(t) oldsymbol{x} \ V(t) oldsymbol{b}(t) &= egin{bmatrix} 0 \ dots \ ilde{b}_{n-1}(t) \end{bmatrix} \end{aligned}$$

Lemma 2.2 besagt für k > 0:  $(M_A^0 \boldsymbol{w}^T(t)) \boldsymbol{v}(t) = 0, \cdots, (M_A^k \boldsymbol{w}^T(t)) \boldsymbol{v}(t) = 0$  bzw.  $\boldsymbol{w}^{T}(t)(N_{A}^{0}\boldsymbol{v}(t)) = 0, \cdots, \boldsymbol{w}^{T}(t)(N_{A}^{k}\boldsymbol{v}(t)) = 0$  und somit gilt:

$$\boldsymbol{w}^{T}(t) = \left[0 \cdots \tilde{b}_{n-1}(t)\right] S^{-1}(A(t), \boldsymbol{b}(t))$$

mit Freiheitsgrad  $\tilde{b}_{n-1}(t)$ .

EIGENWERTVORGABE MIT ACKERMANN-FORMEL Mit 
$$\tilde{\boldsymbol{a}} = -(M_A^n \boldsymbol{w}^T(t)) V^{-1}(t)$$
 wähle  $u = \frac{1}{\tilde{b}_{n-1}(t)} (\tilde{\boldsymbol{a}}(t) \boldsymbol{z} + v)$ 

mit neuem Eingang v(t) als Integratorkette  $\dot{z}_1 = z_2, \cdots, \dot{z}_n = v$  (Brunovsky-Normalform). Mit

 $p^*(\lambda) = \prod_{i=1}^n (\lambda - \lambda_i^*)$  als gewünschtes CharPoly wähle:

$$v = -p_0 z_1 - \dots - p_{n-1} z_n$$
 ergibt  $u = -\tilde{\boldsymbol{k}}^T(t) \boldsymbol{z}$ . Es folgt für

$$\dot{\boldsymbol{z}} = (\tilde{A}(t) - \tilde{\boldsymbol{b}}(t)\tilde{\boldsymbol{k}}^T(t))\boldsymbol{z} = \begin{bmatrix} 0 & 1 & 0 & \cdots & 0 \\ 0 & 0 & 1 & \cdots & 0 \\ \vdots & & & \vdots \\ 0 & 0 & 0 & \cdots & 1 \\ -p_0 & -p_1 & -p_2 & \cdots & -p_{n-1} \end{bmatrix}$$

Im Originalzustand  $\dot{x}(t)$  folgt die exp. Stabilität, falls V(t)eine Lyapunov Transformation ist:

$$\dot{\boldsymbol{x}} = (A(t) - \boldsymbol{b}(t)\boldsymbol{k}^T(t))\boldsymbol{x}$$

$$\min \ \tilde{\boldsymbol{k}}^T(t) = \boldsymbol{k}^T(t) V^{-1}(t).$$

## 1.5.2 Mehrgrößensysteme

Steuerbarkeitsindizes  $\rho_i$  einführen. Es gilt

$$S(A(t), B(t)) =$$

$$\left[ \boldsymbol{b}_{1}(t) \cdots \boldsymbol{b}_{m}(t) \, \middle| \, N_{A}^{1} \boldsymbol{b}_{1}(t) \cdots N_{A}^{1} \boldsymbol{b}_{m}(t) \, \middle| \, N_{A}^{n-1} \boldsymbol{b}_{1}(t) \cdots N_{A}^{n-1} \boldsymbol{b}_{m}(t) \right]$$

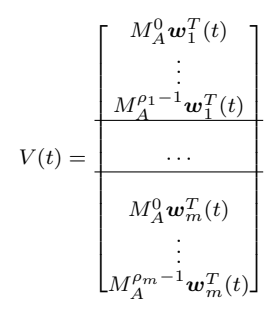
Reduzierte Steuerbarkeitsmatrix:

$$\bar{S}(A(t), B(t)) = \left[ \boldsymbol{b}_1(t) \cdots N_A^{\rho_1 - 1} \boldsymbol{b}_1(t) \, \middle| \, \cdots \, \middle| \, \boldsymbol{b}_m(t) \cdots N_A^{\rho_m - 1} \boldsymbol{b}_m(t) \right]$$

Anleitung:

- Beginne mit  $b_1(t)$ . Berechne  $N_A b_1(t), \cdots, N_A^{\rho_1-1} b_1(t)$ . Abbruch, wenn  $N_A^{\rho_1} b_1(t)$  linear abhängig von den vorherigen Vektoren der Sequenz.
- Falls  $\rho_1 \neq n$  nutze  $\boldsymbol{b}_2(t)$  mit der Sequenz  $N_A \mathbf{b}_2(t), \cdots, N_A^{\rho_2} \mathbf{b}_2(t)$  bis linear abhängig von den vorherigen Sequenzen.
- Es muss gelten:  $\sum_{i=1}^{m} \rho_i = n$

Die MIMO-RNF kann mit z(t) = V(t)x(t) erreicht werden wenn  $\bar{S}(A(t), B(t))$  regulär ist, mit



$$\begin{aligned} p^*(\lambda) &= \prod_{j=1}^n (\lambda - \lambda_j^*) \text{ als gewünschtes CharPoly wähle:} \\ v &= -p_0 z_1 - \dots - p_{n-1} z_n \text{ ergibt } u = -\tilde{\pmb{k}}^T(t) \pmb{z}. \text{ Es folgt für} \\ \dot{\pmb{z}} &= (\tilde{A}(t) - \tilde{\pmb{b}}(t)\tilde{\pmb{k}}^T(t)) \pmb{z} = \begin{bmatrix} 0 & 1 & 0 & \dots & 0 \\ 0 & 0 & 1 & \dots & 0 \\ \vdots & & & \vdots \\ 0 & 0 & 0 & \dots & 1 \\ -p_0 & -p_1 & -p_2 & \dots & -p_{n-1} \end{bmatrix} \pmb{z} & \begin{bmatrix} \pmb{w}_1^T(t) \\ \vdots \\ \pmb{w}_m^T(t) \end{bmatrix} = \\ \pmb{z} & \begin{bmatrix} \boldsymbol{w}_1^T(t) \\ \vdots \\ \boldsymbol{w}_m^T(t) \end{bmatrix} = \\ \begin{bmatrix} 0 \cdots \tilde{b}_{1,\rho_1-1}(t) & \cdots & 0 & \cdots & 0 \\ \vdots & & \vdots & \ddots & \vdots \\ 0 \cdots \tilde{b}_{m,\rho_1-1}(t) & \cdots & 0 & \cdots & 0 \\ \vdots & & \vdots & \ddots & \vdots \\ 0 \cdots \tilde{b}_{m,\rho_1-1}(t) & \cdots & 0 & \cdots & 0 \\ \vdots & \vdots & \ddots & \vdots \\ 0 \cdots \tilde{b}_{m,\rho_1-1}(t) & \cdots & 0 & \cdots & 0 \\ \vdots & \vdots & \ddots & \vdots \\ 0 \cdots \tilde{b}_{m,\rho_1-1}(t) & \cdots & 0 & \cdots & 0 \\ \end{bmatrix} \bar{S}^{-1}(\cdot)$$

mit  $\tilde{b}_{j,\rho_j-1}(t)$  als Freiheitsgrade. Kompakte Darstellung über  $\zeta = \boldsymbol{w}_i^T(t)\boldsymbol{x}$  und Ausnutzung der kanonischen Form ergibt

$$\begin{bmatrix} \frac{d^{\rho_1}}{dt^{\rho_1}} \zeta_1 \\ \vdots \\ \frac{d^{\rho_m}}{dt^{\rho_m}} \zeta_m \end{bmatrix} = \underbrace{\begin{bmatrix} M_A^{\rho_1} \boldsymbol{w}_1^T(t) \\ \vdots \\ M_A^{\rho_m} \boldsymbol{w}_m^T(t) \end{bmatrix}}_{\mathcal{A}(t) \in \mathbb{R}^{m \times n}} \boldsymbol{x} + \underbrace{\begin{bmatrix} (M_A^{\rho_1 - 1} \boldsymbol{w}_1^T(t)) \boldsymbol{b}_1(t) \cdots (M_A^{\rho_1 - 1} \boldsymbol{w}_1^T(t)) \boldsymbol{b}_m(t) \\ \vdots \\ (M_A^{\rho_m - 1} \boldsymbol{w}_m^T(t)) \boldsymbol{b}_1(t) \cdots (M_A^{\rho_m - 1} \boldsymbol{w}_m^T(t)) \boldsymbol{b}_m(t) \end{bmatrix}}_{\boldsymbol{u}} \boldsymbol{u}$$

$$K(t) = \mathcal{K}^{-1}(t) \begin{bmatrix} (p_{1,0}M_A^0 + \dots + p_{1,\rho_1 - 1}M_A^{\rho_1 - 1} + M_A^{\rho_1}) \circ \mathbf{w}_1^T(t) \\ \vdots \\ (p_{m,0}M_A^0 + \dots + p_{m,\rho_m - 1}M_A^{\rho_m - 1} + M_A^{\rho_m}) \circ \mathbf{w}_m^T(t) \end{bmatrix}$$

$$= \begin{bmatrix} \tilde{\mathbf{k}}_1^T(t) \\ \vdots \\ V(t) \end{bmatrix}$$

$$\bar{O}(C(t), A(t)) = 0$$

Zustandsrückführung:

$$\boldsymbol{u} = -K(t)\boldsymbol{x} = \mathcal{K}^{-1}(t)(-\mathcal{A}(t)\boldsymbol{x} + \boldsymbol{v})$$

und mentkoppelte Integratorketten der Länge  $\rho_j$  in den Koordinaten  $\zeta_j(t)$ erhalten.

Originalkoordinaten

$$\dot{\boldsymbol{x}} = (A(t) - B(t)K(t))\boldsymbol{x}$$

#### 1.6 Entwurf von Zustandsbeobachtern

Entwurf eines (vollständigen) Luenberger-Beobachters:

$$\hat{\boldsymbol{x}} = \underbrace{A(t)\hat{\boldsymbol{x}} + B(t)\boldsymbol{u}}_{\text{Simulator}} + \underbrace{L(t)(\boldsymbol{y} - \hat{\boldsymbol{y}})}_{\text{Korrektur}}$$

$$\hat{\boldsymbol{y}} = C(t)\hat{\boldsymbol{x}} + D(t)\boldsymbol{u}$$

mit Beobachterfehlerdynamik  $\tilde{\boldsymbol{x}}(t) = \boldsymbol{x}(t) - \hat{vx}(t)$  ergibt sich

$$\dot{\tilde{x}} = \underbrace{(A(t) - L(t)C(t))}_{=A_b(t)} \hat{x}$$

#### 1.6.1 Eingrößensysteme

ACKERMANN-FORMEL

In SISO-BNF überführen mit Transformation  $\boldsymbol{z} = V(t)\boldsymbol{x}(t),$  wenn  $O(\cdot)$  regulär:

$$V^{-1}(t) = \begin{bmatrix} N_A^0 \mathbf{v}(t) & \cdots & N_A^{n-1} \mathbf{v}(t) \end{bmatrix}$$
$$\mathbf{v}(t) = O^{-1}(\mathbf{c}^T(t), A(t)) \begin{bmatrix} 0 \\ \vdots \\ \tilde{c}_{n-1}(t) \end{bmatrix}$$

mit Freiheitsgrad  $\tilde{c}_{n-1}(t)$ . Zeitvariante Beobachterkorrektur

$$oldsymbol{l}(t) = rac{1}{ ilde{c}_{n-1}(t)} \left[ p_0 N_A^0 + \dots + p_{n-1} N_A^{n-1} + N_A^n 
ight] \circ oldsymbol{v}(t)$$

führt auf zeitinvariante Dynamikmatrix  $\tilde{A}_b = \tilde{A}(t) - \tilde{\boldsymbol{l}}(t)\tilde{\boldsymbol{c}}^T(t)$  mit  $\tilde{\boldsymbol{l}}(t) = V(t)\boldsymbol{l}(t)$  Wenn die Transformation  $\boldsymbol{z}(t)$  eine Lyapunov-Transformation ist, dann folgt die exp. Stabilität von

$$\dot{\tilde{\boldsymbol{x}}} = (A(t) - \boldsymbol{l}(t)\boldsymbol{c}^T(t))\tilde{\boldsymbol{x}}$$

## 1.6.2 Mehrgrößensysteme

Reduzierte Beobachtbarkeitsmatrix zusammengesetzt aus den n lin.unabh. Zeilenvektoren von  $O(\cdot)$ :

$$\bar{O}(C(t),A(t)) = \begin{bmatrix} \boldsymbol{c}_1^T(t) \\ \vdots \\ M_A^{\rho_1-1}\boldsymbol{c}_1^T(t) \\ \vdots \\ \boldsymbol{c}_p^T(t) \\ \vdots \\ M_A^{\rho_p-1}\boldsymbol{c}_p^T(t) \end{bmatrix}, \quad \sum_{j=1}^p \rho_j = n$$

TRAFO IN MIMO-BNF Durch

$$V^{-1}(t) = \left[ N_A^0 \boldsymbol{v}_1(t) \cdots N_A^{\rho-1} \boldsymbol{v}_1(t) \middle| \cdots \middle| N_A^0 \boldsymbol{v}_p(t) \cdots N_A^{\rho_p-1} \boldsymbol{v}_p(t) \right]$$

und

$$[\boldsymbol{v}_1(t)\cdots\boldsymbol{v}_p(t)] = \bar{O}^{-1}(\cdot)\bar{C}^T(t)$$

 $_{
m mit}$ 

$$\bar{C}^T(t) = \begin{bmatrix} 0 & \cdots & 0 \\ \vdots & & \vdots \\ 0 & \cdots & 0 \\ \tilde{c}_{1,\rho_1-1}(t) & \cdots & \tilde{c}_{p,\rho_1-1}(t) \\ & \cdots & & \cdots \\ \\ 0 & \cdots & 0 \\ \vdots & & \vdots \\ 0 & \cdots & 0 \\ \tilde{c}_{1,\rho_n-1}(t) & \cdots & \tilde{c}_{p,\rho_n-1}(t) \end{bmatrix}$$

## 2 Analyse nichtlinearer Systeme

$$\dot{\boldsymbol{x}} = \boldsymbol{f}(\boldsymbol{x}, t)$$
 bzw.  $\dot{\boldsymbol{x}} = \boldsymbol{f}(\boldsymbol{x})$ 

#### 2.1 Fluss einer DGL

$$\boldsymbol{x} = \Phi_t(\boldsymbol{x}_0)$$

mit  $\boldsymbol{x}(0) = \Phi_0(\boldsymbol{x})$  folgt dass  $\Phi_0(\cdot) = E$ . Axiome:  $\boldsymbol{x}(t+\tau) = \Phi_{\tau}(\boldsymbol{x}(t)), \ \boldsymbol{x}(t+\tau) = \Phi_{t+\tau}(\boldsymbol{x}_0) = \Phi_{\tau}(\Phi_t(\boldsymbol{x}_0)).$  Transitionseigenschaft:

$$\Phi_{\tau} \circ \Phi_{t} = \Phi_{t+\tau}$$
 (Komposition)

## 2.2 Existenz und Eindeutigkeit der Lösung (NL) DGLSysteme

Lokale Existenz und Eindeutigkeit

Sei f(x,t) stückweise stetig und erfülle die Lipschitz Bedingung  $\forall t \in [t_0, t_0 + \tau]$ . Dann existiert ein  $\delta > 0$ , so dass das System genau eine Lösung für  $t \in [t_0, t_0 + \delta]$  besitzt (Lokal Lipschitz). Gilt die Lipschitz-Bedingung für alle  $x_1, x_2$  dann ist  $f(\cdot)$  global Lipschitz.

STETIGKEIT UND LIPSCHITZ-BED.

Sind  $f(\cdot)$  und  $\frac{\partial}{\partial x}f(\cdot)$  auf der Menge  $\mathcal{B}\times[t_0,t_0+\delta]$  stetig, dann ist die L-B erfüllt.

GLOBALE EXISTENZ UND EINDEUTIGKEIT

Sei  $\boldsymbol{f}$  stückweise stetig in t und global Lipschitz in  $[t_0, t_0 + \delta]$ , dann besitzt die DGL eine eindeutige Lösung auf dem Intervall. Sind  $\boldsymbol{f}$  und  $\frac{\partial}{\partial \boldsymbol{x}} \boldsymbol{f}$  in dem Intervall stetig, dann ist  $\boldsymbol{f}$  genau dann global Lipschitz, wenn  $\frac{\partial}{\partial \boldsymbol{x}} \boldsymbol{f}$  im Intervall gleichmäßig beschränkt (induz. Matrixnorm) ist. SATZ 3.4

## 2.3 Zustandsraum nichtlinearer Systeme

NKR

## 2.3.1 Mannigfaltigkeiten

NKR

## 2.3.2 Tangentialraum und Vektorfeld

NKR

## 2.3.3 Zusammenhang zwischen Vektorfeld und Differenzialgleichung

NKR

## 2.4 Zustandstransformationen und Diffeomorphismen

TODO

#### 2.5 Lie-Ableitung und Lie-Klammern

#### 2.5.1 Lie-Ableitung

Lie-Ableitung  $L_f h$  bezeichnet die Richtungsableitung einer glatten Funktion h in Richtung eines Vektorfeldes f am Punkt p:

$$(L_{\boldsymbol{f}}h)(\boldsymbol{p}) = (\boldsymbol{f}(\boldsymbol{p}))(h) = \frac{d}{dt}h(\boldsymbol{p} + t\boldsymbol{f})|_{t=0} = \frac{d}{dt}h(\boldsymbol{\sigma}(t))|_{t=0}$$

In Originalkoordinaten:

$$(L_{\boldsymbol{f}}h)(\boldsymbol{x}) = \frac{\partial h}{\partial \boldsymbol{x}}\boldsymbol{f}(\boldsymbol{x})$$

Außerdem:

$$L_{\mathbf{g}}L_{\mathbf{f}}h = \frac{\partial L_{\mathbf{f}}h}{\partial \mathbf{x}}\mathbf{g}$$

#### 2.5.2 Lie-Klammer

$$\mathrm{ad}_{m{f}}m{g} = [m{f},m{g}] = rac{\partial m{g}}{\partial m{x}}(m{x})m{f}(m{x}) - rac{\partial m{f}}{\partial m{x}}(m{x})m{g}(m{x})$$

mit Eigenschaften:

$$[m{f}, m{g}] = -[m{g}, m{f}]$$
 (Schiefsymmetrie) todo

#### 2.6 Distributionen und Involutivität

DISTRIBUTION

Eine Vorschrift, die jedem Punkt p einen linearen Unterraum  $\Delta_p$  des Tangentialraumes  $\mathcal{T}_p\mathcal{M}$  in der Form  $\Delta_p = \operatorname{span}\{\boldsymbol{v}_{1,p},/cdots,\boldsymbol{v}_{d,p}\} \text{ zuordnet wird als (glatte)}$  Distribution bezeichnet. Sie ist regulär in einer Umgebung V, wenn für alle  $q \in V$  gilt:  $\dim(\Delta_q) = d$ .

#### Involutivität

Eine reguläre Distribution ist dann involutiv auf V, wenn für alle  ${m q} \in V$  gilt:  $[{m v}_{j,{m q}}, {m v}_{k,{m q}}] \in \Delta_{{m q}} \quad \forall j,k=1,...,d.$  Die Lie-Klammer jeder Kombination von Vektorfeldern muss wieder als Linearkombination dieser Vektorfelder darstellen lassen.

## 2.7 Steuerbarkeit und Erreichbarkeit nichtlinearer Systeme

Lokal Steuerbar

Lokal steuerbar am Punkt  $x_1 \in \mathcal{M}$  wenn eine offene Umgebung V um  $x_1$  existiert, sodass für alle  $x_2 \in V$  eine Zeit  $\tau$  und ein u so existieren, dass  $x(\tau) = \Phi_{\tau}(x_1)$ .

Global Steuerbar

Wie lokal, nur für  $x_2 \in \mathcal{M}$ .

Einerseits: Steuerbarkeit um eine Ruhelage bzw. AP linearisierte System impliziert die lokale Steuerbarkeit des NL Systems.

Andererseits: Linearisierung eines NL Systems kann zum Verlust der Steuerbarkeit führen (z.B. kin. Fahrzeugmodell)

#### 2.7.1 Nichtlineare Systeme ohne Driftterm

$$\dot{\boldsymbol{x}} = \sum_{j=1}^{m} \boldsymbol{g}_{j}(\boldsymbol{x})u_{j}$$

Genau dann lokal steuerbar um  $x_0$ , wenn die Steuerbarkeitsdistribution

$$\Delta_S(\boldsymbol{x}) = \operatorname{span}\{\boldsymbol{g}_1, \cdots, \boldsymbol{g}_m, [\boldsymbol{g}_i, \boldsymbol{g}_i], [\boldsymbol{g}_i, [\boldsymbol{g}_i, \boldsymbol{g}_k]], \cdots\}$$

mit i, j, k, ... = 1, ..., m die Bedingung dim $(\Delta_S(\boldsymbol{x})) = n$  erfüllt.

#### 2.7.2 Nichtlineare Systeme mit Driftterm

$$\dot{\boldsymbol{x}} = \boldsymbol{f}(\boldsymbol{x}) + \sum_{j=1}^m \boldsymbol{g}_j(\boldsymbol{x}) u_j$$

Lokale Erreichbarkeit

Das System ist lokal erreichbar am Punkt  $x_1$ , wenn eine Umgebung V um  $x_1$ , so dass für alle  $x_2 \in V$  eine Zeit  $\tau$  und ein u existieren, dass gilt  $x(\tau) = \Phi_{\tau}(x_1) = x_2$ . Genau dann lokal erreichbar um  $x_0$ , wenn die Erreichbarkeitsdistribution

$$\Delta_E(\boldsymbol{x}) = \operatorname{span}\{\boldsymbol{g}_1, \cdots, \boldsymbol{g}_m, [\boldsymbol{g}_i, \boldsymbol{g}_i], [\boldsymbol{g}_i, [\boldsymbol{g}_i, \boldsymbol{g}_k]], \cdots\}$$

mit i, j, k... = 0, ..., m und  $\boldsymbol{g}_0(\boldsymbol{x}) = \boldsymbol{f}(\boldsymbol{x})$  die Bedingung  $\dim(\Delta_E(\boldsymbol{x})) = n.$ 

Lokale Erreichbarkeit schwächere Eigenschaft als die lokale Steuerbarkeit.

## 3 Exakte Linearisierung und Flachheit

$$\dot{oldsymbol{x}} = oldsymbol{f}(oldsymbol{x}) + \sum_{j=1}^m oldsymbol{g}_j(oldsymbol{x}) u_j \ y_j = h_j(oldsymbol{x})$$

mit glatten Vektorfeldern  $f, g_i \in \mathcal{TM}$  und glatten Funktionen  $h_i(x)$ .

#### 3.1 Exakte

Eingangs-/Ausgangslinearisierung für Eingrößensysteme

$$\dot{\boldsymbol{x}} = \boldsymbol{f}(\boldsymbol{x}) + \boldsymbol{g}(\boldsymbol{x})u$$
$$y = h(\boldsymbol{x})$$

#### 3.1.1 Relativer Grad

Zeitliche Anderung des Ausgangs als lineares System mit neuem Eingang  $\dot{y} = v$  mit der Zustandsrückführung:

$$u = \frac{-L_{\boldsymbol{f}}h(\boldsymbol{x}) + v}{L_{\boldsymbol{g}}h(\boldsymbol{x})}$$

DEFINITION

Das System hat den relativen Grad r an der Stelle  $\bar{\boldsymbol{x}}$  wenn (i)  $L_{\boldsymbol{g}}L_{\boldsymbol{f}}^kh(\boldsymbol{x})=0$  für k=0,...,r-2 und (ii)  $L_{\boldsymbol{g}}L_{\boldsymbol{f}}^{r-1}h(\bar{\boldsymbol{x}})\neq 0$ . Existieren Punkte  $\boldsymbol{x}$  sodass  $L_{\boldsymbol{g}}L_{\boldsymbol{f}}^{r-1}h(\boldsymbol{x})=0$ , so ist der RG nicht wohl definiert.

 $\label{lem:definition} \begin{picture}(200,0) \put(0,0){\line(1,0){100}} \put(0,0){\line(1,0){100}$ 

Relativer Grad eines LTI Eingrößensystems entspricht dem Differenzgrad von Zähler- und Nennerpolynom der entsprechenden Übertragungsfunktion (Laurent-Reihe).

#### 3.1.2 Byrnes-Isidori-Normalform

Kette von Differentiationen aus RG Def.  $\xi_1 = y, ..., \xi_r = y^{(r-1)}$  führt auf

$$y^{(r)} = L_{\mathbf{f}}^{r} h(\mathbf{x}) + L_{\mathbf{g}} L_{\mathbf{f}}^{r-1} h(\mathbf{x}) u$$
$$\Leftrightarrow u = \frac{-L_{\mathbf{f}}^{r} h(\mathbf{x}) + v}{L_{\mathbf{g}} L_{\mathbf{f}}^{r-1} h(\mathbf{x})} \quad \text{mit } y^{(r)} = v$$

lineares E/A Verhalten in Form einer Integratorkette der Länge r.

ZUSTANDSTRANSFORMATION AUF BYRNES-ISIDORI-NORMALFORM

$$oldsymbol{z} = egin{bmatrix} oldsymbol{\xi}_1 \ drapproxline \ oldsymbol{\eta} \ oldsymbol{z} \ oldsymbol{\eta} \ oldsymbol{\eta} \ oldsymbol{\vdots} \ oldsymbol{\eta} \ oldsymbol{$$

Es kann  $\Phi_{r+1},...,\Phi_n$  so gewählt werden, dass  $L_{\boldsymbol{g}}\Phi_k(\boldsymbol{x})=0=q_k(\boldsymbol{\xi},\boldsymbol{\eta}),\quad k=r+1,...,n.$  Diffeomorphismus:  $\Phi^{-1}(\boldsymbol{z})=\boldsymbol{x}$  (zumindest lokal)

$$\Sigma_{1} : \begin{cases} \dot{\xi}_{1} = \xi_{2} \\ \dot{\xi}_{2} = \xi_{3} \\ \vdots \\ \dot{\xi}_{r} = a(\boldsymbol{\xi}, \boldsymbol{\eta}) + b(\boldsymbol{\xi}, \boldsymbol{\eta})u \end{cases}$$

$$\Sigma_{2} : \begin{cases} \dot{\eta}_{1} = p_{1}(\boldsymbol{\xi}, \boldsymbol{\eta}) + q_{1}(\boldsymbol{\xi}, \boldsymbol{\eta})u \\ \dot{\eta}_{2} = p_{2}(\boldsymbol{\xi}, \boldsymbol{\eta}) + q_{2}(\boldsymbol{\xi}, \boldsymbol{\eta})u \\ \vdots \\ \dot{\eta}_{n-r} = p_{n-r}(\boldsymbol{\xi}, \boldsymbol{\eta}) + q_{n-r}(\boldsymbol{\xi}, \boldsymbol{\eta})v \end{cases}$$

$$u = \xi_{1}$$

mit

$$\begin{split} a(\boldsymbol{\xi},\boldsymbol{\eta}) &= L_{\boldsymbol{f}}^{r}h \circ \boldsymbol{\Phi}^{-1}(\boldsymbol{z}) \\ b(\boldsymbol{\xi},\boldsymbol{\eta}) &= L_{\boldsymbol{g}}L_{\boldsymbol{f}}^{r-1}h \circ \boldsymbol{\Phi}^{-1}(\boldsymbol{z}) \\ p_{k}(\boldsymbol{\xi},\boldsymbol{\eta}) &= L_{\boldsymbol{f}}\Phi_{r+k} \circ \boldsymbol{\Phi}^{-1}(\boldsymbol{z}) \\ q_{k}(\boldsymbol{\xi},\boldsymbol{\eta}) &= L_{\boldsymbol{g}}\Phi_{r+k} \circ \boldsymbol{\Phi}^{-1}(\boldsymbol{z}) \\ \end{split}$$

Exakte E/A-Linearisierung

$$\begin{split} u &= \frac{-\boldsymbol{a}(\boldsymbol{\xi}, \boldsymbol{\eta}) + \boldsymbol{v}}{\boldsymbol{b}(\boldsymbol{\xi}, \boldsymbol{\eta})} \\ v &= \boldsymbol{y}^{*(r)} - \sum_{j=0}^{r-1} p_j \left( \boldsymbol{y}^{(j)} - \boldsymbol{y}^{*(j)} \right) \end{split}$$

### 3.1.3 Nulldynamik

Wie muss  $x_0$  und u(t) gewählt werden, damit der Ausgang y(t)  $\forall t$  identisch Null ist.

Damit  $\dot{\xi}_r = 0$ , muss  $0 = a(\mathbf{0}, \boldsymbol{\eta}) + b(\mathbf{0}, \boldsymbol{\eta})u$  bzw.  $u = -\frac{a(\mathbf{0}, \boldsymbol{\eta})}{b(\mathbf{0}, \boldsymbol{\eta})}$  gelten und es ergibt sich die **Nulldynamik**:

$$\dot{m{\eta}} = m{p}(m{0},m{\eta})$$

STABILITÄT DER NULLDYNAMIK Stabilität der Nulldynamik ist entscheidend für die Anwendung der Exakten E/A-Linearisierung. STBILISIERUNG MIT DER EXAKTEN E/A-LIN. Ist die Nulldynamik des Systems lokal asymptotisch (expon.) stabil, dann stabiliert das nl Regelgesetz:

$$u = \frac{1}{L_{\boldsymbol{g}}L_{\boldsymbol{f}}^{r-1}h(\boldsymbol{x})} \left( -L_{\boldsymbol{f}}^{r}h(\boldsymbol{x}) - \sum_{j=0}^{r-1} p_{j}L_{\boldsymbol{f}}^{j}h(\boldsymbol{x}) \right)$$

mit  $p_j$  den Koeffizienten eines Hurwitz-Polynoms das System lokal asymptotisch (expon.).

# 3.2 Exakte Eingangs-/Zustandslinearisierung für Eingrößensysteme

Copyright © 2014 Major Ring Ding Ding Dong feat. Jingjong Ba-Dingdong